

ՏՏ 53 +534.2

Ֆիզիկա + Տատանումների տպածում
Գործընթացներ ճայնային դաշտում

ՊԱՐՔԵՐԱԿԱՆ ՏԱՏԱՆՈՒՄՆԵՐԻ ԳՈՅՈՒԹՅԱՆ ՊԱՅՄԱՆՆԵՐԸ
ՈՒՍԱԿԱՅԻՆ ԿԱՊՈՎ ԷԼԵԿՏՐԱՄԵԽԱՆԻԿԱԿԱՆ ՀԱՄԱԿԱՐԳՈՒՄ
Մելս ՄԻՆԱՍՅԱՆ, Աննա ՄԻՆԱՍՅԱՆ, Արտակ ՄԿՐՏՉՅԱՆ

Բառայի բառեր. ունակա-ռեզիստիվային շղթա, ունակության մեխանիկական մոդուլյացիա, կապի կոնդենսատորի բնուացում, բացասական մեխանիկական դիմադրություն, մեխանիկական տատանումների ռեզենտացում

Ключевые слова: резистивно-емкостная цепь, механическая модуляция емкости, поляризация конденсатора связи, отрицательное механическое сопротивление, регенерация механических колебаний.

Keywords: resistive-capacitive circuit, mechanical capacity modulation, polarization coupling capacitor, negative mechanical resistance, regeneration of mechanical vibrations.

М. Минасян, А.Минасян, А.Мкртчян

Условия существования периодических колебаний в электромеханической системе с емкостной связью

Найдено пороговое соотношение для амплитуды возбуждающего сигнала, при которой достигается эффект регенерации механических колебаний в электромеханической системе.

Предполагается наличие в системе некоторого конденсатора электромеханической связи, одна из обкладок которого подвижна. Колебания последней синхронизированы с переменным током зарядки, причем максимумы тока и смещения достигаются единовременно. Этим достигнута оптимальность в фазовой согласованности, обеспечивающая максимум регенерации при заданных амплитуде возбуждения и средней напряженности поля в конденсаторе.

M.Minasyan, A.Minasyan, A. Mkrtchyan
Conditions for the Existence of Periodic Oscillations in the
Electromechanical System with Capacitive Coupling.

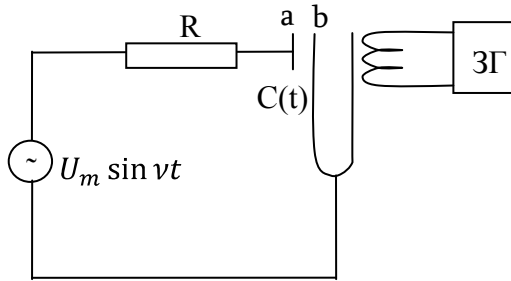
A threshold ratio for the amplitude of the excitation signal which produces a regeneration effect of mechanical vibrations in the electro-mechanical system has been found.

It is assumed that the system has some electromechanical coupling capacitor, one plate of which is movable. The oscillations of the plate are synchronized with the AC charge, and both the maximum current and the maximum displacement are reached at the same time. Thus, optimality in the phase consistency is achieved, ensuring the maximum regeneration for the given excitation amplitude and the average intensity of the field in the capacitor.

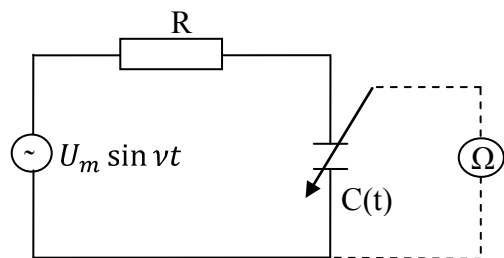
Դիտարկվել է RC-տիպի շղթայում ունակության մեխանիկական մոդուլյացումով ապահովվող էլեկտրամեխանիկական փոփոքագության դեպք, եթե կապի կոնդենսատորի շրջադիրներից մեկի առաձգական տատանումները կարող են ռեզենտացվել թույլ փոփոխական հոսանքի ռեզոնանսային ննդգործությամբ: Կոնդենսատորը բնեուացված է ավելի մեծ լարումով, քան թույլատրվում է լարման փոփոխական բաղադրիչի համար: Մեխանիկական տատանումները կոնդենսատորում սինկրոնիզացվում են փոփոխական հոսանքի հետ: Օպտիմալ է, եթե դրանց մաքսիմումների ժամանակապահերը համատեղված են:

Ուսումնամիջություն է փոփոխական հոսանքի RC-տիպի շղթայում ունակության մոդուլյացիա իրականացնող մեխանիկական տատանակ: Նրա ստացիոնար պարբերական ռեժիմը ապահովում է՝ շնորհիվ կոնդենսատորում փոփոխական բնեուացումները գերազանցող ստատիկ բաղադրիչի ներդրման:

Հայտնի է ունակային կապով էլեկտրամեխանիկական համակարգի մեջ մեխանիկական տատանակի ինքնազդողման պայմաններին վերաբերող [1] աշխատանքը, ըստ որի՝ բարձրիածախային (v) աղբյուրից միջինում $p_0 > 0$ հզրություն է փոփոխացվում մեխանիկականին, քանի դեռ վերջինս ցածր Ω հաճախությամբ փոխում է էլեկտրամեխանիկական կապի օղակի (հարյա կոնդենսատորի) C ունակությունը (նկ.1, նկ.2):



Նկ.1.



Նկ.2

Ակնթարթային ունակության համար տեղի է ունենում

$$C(t) = C_0(1 + \varepsilon \sin \Omega t)^{-1}, \quad (1)$$

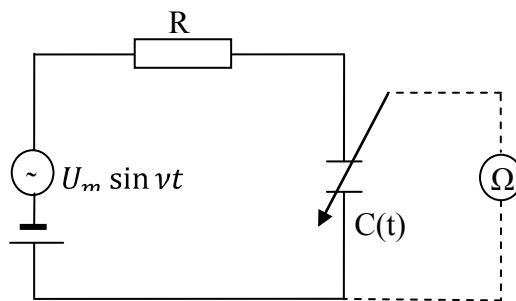
$$\text{իսկ փոխանցվող հզորության համար } p_0 = 0.024 \frac{\varepsilon^2 U_m^2 \Omega^2}{R} \frac{1}{\nu^2}. \quad (1')$$

Այստեղ $\varepsilon = \frac{\Delta l}{l_0}$, իսկ l_0 -ն բնութագրում է նկ.1-ի ab միջակայքի լայնությունը: Նրանով է պայմանավորվում ունակության հավասարակշիռ C_0 մեծությունը:

Եթե թույլատրենք $\varepsilon \ll 1$, $\Omega \ll \nu$ և գնահատենք (1') հզորության հարաբերությունը $0.5 U_m^2 / R$ գործող արժեքին, ապա կստանանք պակաս, քան 10^{-6} կարգի մեծությունն է:

Այդ կապակցությամբ՝ ստորև վերանայվում է [1]-ում բննարկված համակարգը, $\Omega \ll \nu$ (2) պայմանը փոխարինվում է ուղղանանայինով՝ $\nu = \Omega$, ինչպես նաև ազդանշանային աղբյուրի հետ հաջորդական միացմամբ մտցվում է հաստատուն հոսանքի աղբյուր: Վերջինիս օգնությամբ բնետացվում է կապի C կոնդենսատորը, և ապահովվում մելխանիկական տատանումների ռեզենտացիա, չնայած $\nu = \Omega$ և $RC_0 \gg 2\pi/\Omega$ ռեժիմը նման է ֆենկտի ստացման առումով [1]-ում մերժվում է:

Դիցուք, էլեկտրամելխանիկական կապով նոր շղթայում, ըստ նկ.3-ի սխեմայի, արդեն առկա է $U_0 \gg U_m$ (2') լարում ապահովող հաստատուն հոսանքի աղբյուր (օրինակ՝ գալվանական էլեմենտ): Նման դեպքում C_0 կոնդենսատորի էլեկտրական դաշտը կունենա և կպահպանի որոշակի կողմնորոշվածություն: Հաստատուն աղբյուրի ստեղծած դաշտի սկզբնական E_0 լարվածությունը կպայմանավորի էլեկտրական դաշտի միջին արժեքը (որը հավասար չէ զրոյի): Այդ կապակցությամբ կարենի է ակնկալել, որ էլեկտրական ազդանշանների վ հաճախականությամբ աղբյուրի և C ունակությանը մոդուլացնող մելխանիկական աղբյուրի համատեղ ներգործության հանդեպ կարող է նորից ձևավորվել ռեզենտատիվ հատկանիշի բնրող արձագանք՝ չնայած սարքում գործող երկու հաճախականությունների համընկմանը ($\nu \rightarrow \Omega$): Այս վերջինը [1]-ի պարագայում բնրում է $p_0 = 0$:



Նկ.3

Կոնդենսատորի շրջադիրների մելխանիկական տեղաշարժման աշխատանքի որակական դիտարկումը համոզում է, որ $p_0 = 0$ արդյունքը իսկապես տեղի ունի, քանի որ էլեկտրական դաշտի կողմից, առանց հաստատուն հոսանքի աղբյուրի մասնակցության, կատարված աշխատանքները մի պարբերության մեջ հավասար չափով դրական են և բացասական՝ սինուսիդալ դաշտի ակնհայտ

համաչափության պատճառով: Մեր նշանակած (2') պայմանը հենց կոչված է խախտելու տատանման կիսապարբերություններում կատարվող աշխատանքների հավասարությունը:

Անզններ հավասարումների ձևակերպմանը: Էլեկտրական կողմում գրանցենք՝

$$dU_u = \frac{dq}{C_0} + E_0 dl + R \frac{dq}{dt}: \quad (3)$$

Նրանում $E_0 = \frac{q_0/S}{\varepsilon_0}$, իսկ dl -ը կոնդենսատորի ճնշությունն է:

Կոնդենսատորի վրա արտաքինից ներգրծող dF ուժը հավասարակշռվում է առաձգական k_0 կուտություն դրսորող, ինչպես նաև կուլոնյան ձգողություն պայմանավորող հակազդեցություններով: Դրա հետ կապված՝ մեխանիկական կողմում գրանցում ենք՝

$$dF = k_0 dl + E_0 dq: \quad (4)$$

Այսպիսով՝ ստացվում է Էլեկտրական և մեխանիկական մուտքերը միավորող հավասարումների համակարգ՝

$$\begin{cases} dU_u = \frac{dq}{C_0} + E_0 dl + Ri, \\ dF = k_0 dl + E_0 dq: \end{cases}$$

Համակարգում անկանու անկանու $1/C_0$, k_0 , E_0 գործակիցներով իրականացվող կապերը կարող են պահպանվել նույնությամբ, եթե անզնելու լինենք կոնդենսատորի շրջադիրների հեռավորության և նրանում կուտակված լիցքերի վերջավոր փոփոխություններին այն պայմանով, որ փոփոխությունները փոքր են: Էլեկտրական կողմում մուտքային լարման փոքր փոփոխությունները մենք նշանակում ենք U_{\sim} ՝ նույնացնելով օգտակար ազդանշանի հետ: Մեխանիկական կողմում ուժի փոփոխական բաղադրիչի համար մտցնում ենք f_{\sim} ՝ նշանակումը, հոսանքի փոփոխական բաղադրիչի համար՝ i_{\sim} , լիցքի քանակի փոքր փոփոխության համար՝ q_{\sim} , շրջադիրների հեռավորության փոքր փոփոխության համար՝ l_{\sim} : Ուրեմն կգրանցվի՝

$$\begin{cases} i_{\sim} = \frac{U_u}{R} - \frac{q_{\sim}}{RC_0} - \left(\frac{E_0}{R}\right) l_{\sim}, \\ f_{\sim} = k_0 l_{\sim} + E_0 q_{\sim}: \end{cases} \quad (3')$$

$$(4')$$

Հաջորդ ձևափոխություններում նպատակահարմար է $\tilde{p} = d/dt$ դիֆերենցիալ օպերատորի գործածումը: Օրինակ՝ կիամարենք, որ $i_{\sim} = \tilde{p} q_{\sim}$, ինչպես նաև՝ $v_{\sim} = \tilde{p} l_{\sim}$: Դա հնարավորություն է տալիս (3')-ից ստանալու՝

$$q_{\sim} = \frac{C_0(U_u - E_0 l_{\sim})}{1 + \tilde{p} RC_0}: \quad (5)$$

Իսկապես,

$$\begin{aligned} \tilde{p} q_{\sim} &= \frac{U_u}{R} - \frac{q_{\sim}}{RC_0} - \left(\frac{E_0}{R}\right) l_{\sim}, \quad q_{\sim} + \frac{q_{\sim}}{\tilde{p} RC_0} = \frac{U_u}{\tilde{p} R} - \frac{E_0}{\tilde{p} R} l_{\sim}, \\ q_{\sim} \left(1 + \frac{1}{\tilde{p} RC_0}\right) &= \frac{1}{\tilde{p}} \left(\frac{U_u}{R} - \frac{E_0}{R} l_{\sim}\right) = \frac{1}{\tilde{p} R} (U_u - E_0 l_{\sim}), \\ q_{\sim} &= \frac{U_u - E_0 l_{\sim}}{\tilde{p} R \left(1 + \frac{1}{\tilde{p} RC_0}\right)} = \frac{U_u - E_0 l_{\sim}}{\tilde{p} R + \frac{1}{C_0}}, \end{aligned}$$

ինչը համընկնում է (5)-ի հետ:

Համանման մոտեցումով կփոխակերպվի (4')-ը: Կստանանք՝

$$f_{\sim} = k_0 l_{\sim} + E_0 C_0 \frac{U_u - E_0 l_{\sim}}{1 + \tilde{p} RC_0}: \quad (6)$$

Պահի որ մեխանիկական մուտքի կողմում առկա է համակարգի հանդեպ (6) տեսքի փոփոխական ուժային ներգրածություն, ապա գոյանում է $\frac{f_{\sim}}{v_{\sim}}$ տեսքի հարաբերություն: Այն իրենից ներկայացնում է մեխանիկական մուտքային դիմադրություն՝

$$\begin{aligned} \frac{f_{\sim}}{v_{\sim}} &= \frac{k_0}{\tilde{p}} + \frac{E_0 C_0 (U_{\sim} - E_0 l_{\sim})}{\tilde{v}(1 + \tilde{p} R C_0)} = \frac{k_0}{\tilde{p}} + \frac{E_0 C_0 (U_{\sim} - E_0 l_{\sim})}{\tilde{p} l_{\sim} (1 + \tilde{p} R C_0)} = \\ &= \frac{k_0}{\tilde{p}} - \frac{E_0^2 C_0}{\tilde{p} (1 + \tilde{p} R C_0)} + \frac{E_0 C_0 U_{\sim}}{\tilde{p} (1 + \tilde{p} R C_0) l_{\sim}} : \end{aligned} \quad (7)$$

Ինչպես հայտնի է, \tilde{p} օպերատորի կիրառումը ներդաշնակ ֆունկցիայի հանդեպ բնրում է $j\omega$ արտադրիչի առաջացմանը, այսինքն՝ \tilde{p} օպերատորը ուղղակի փոխարինվում է $j\omega$ -ով: Օգտվելով դրանից և նկատի ունենալով U_{\sim} և f_{\sim} մնձությունների սինուսիդալ բնույթը $U_{\sim} = U_m \sin \nu t = Im(U_m e^{j\nu t})$ և $f_{\sim} = f_m \sin(\Omega t + \varphi_0)$ ՝ կստանանք մուտքային մեխանիկական դիմադրության (իմպենդանսի) հետևյալ տեսքը՝

$$\frac{f_{\sim}}{v_{\sim}} = \mathcal{R}(\omega)|_{\omega=\nu=\Omega} = \frac{k_0}{j\omega} - \frac{E_0^2 C_0 / j\omega}{1 + j\omega R C_0} + \frac{E_0 C_0 / j\omega}{1 + j\omega R C_0} \frac{U_{\sim}}{l_{\sim}} : \quad (8)$$

Ինչպես լրացնաված է կոմպլեքս լայնույթների մեթոդում, կարելի է (8)-ի մեջ փոխակերպել $\frac{U_{\sim}}{l_{\sim}}$ հարաբերությունը՝ հաշվի առնելով, որ $U_{\sim}(t)$ և $l(t)$ մնձությունները ունեն միևնույն հաճախականությունը: Բացի դրանից, կարելի է առանձնացնել $\mathcal{R}(\omega)$ իմպենդանսի ակտիվ և ռեակտիվ բաղադրիչները (8)-ում ազատվելով կոմպլեքս հայտարարից: Հաջորդաբար կունենանք՝

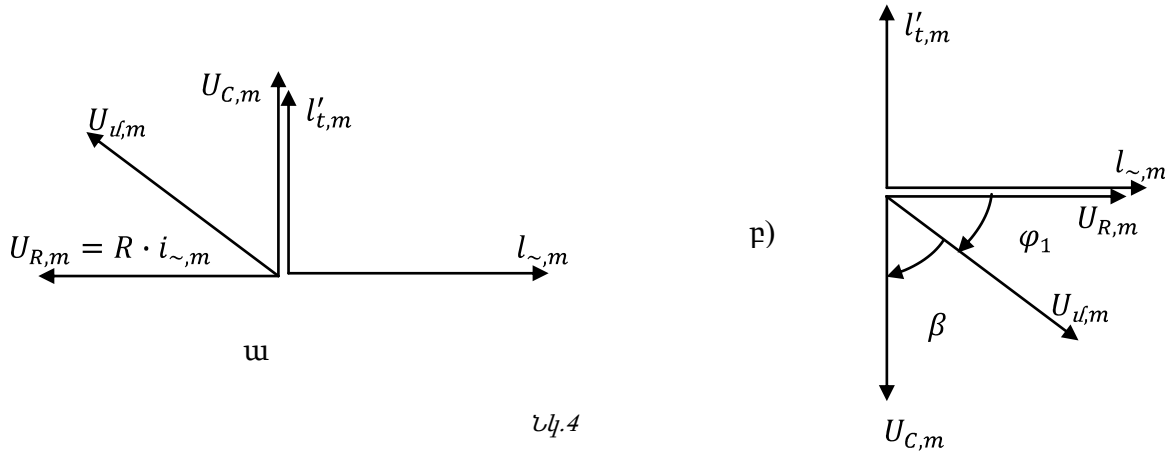
$$\begin{aligned} \frac{U_{\sim}}{l_{\sim}} &= \frac{\dot{U}_{\sim m}}{\dot{l}_m} = \frac{U_{\sim m}}{\dot{l}_m} e^{-j\varphi_1}, \\ \text{և} \quad \mathcal{R}(\omega) &= \frac{k_0}{j\omega} - E_0^2 \frac{C_0 / j\omega}{1 + j\omega R C_0} + E_0 \frac{C_0 / j\omega}{1 + j\omega R C_0} \frac{U_{\sim m}}{\dot{l}_m} e^{-j\varphi_1} = \\ &= \frac{k_0}{j\omega} - E_0^2 \frac{\frac{C_0}{j\omega} (1 - j\omega R C_0)}{1 + \omega^2 R^2 C_0^2} + E_0 \frac{\frac{C_0}{j\omega} (1 - j\omega R C_0)}{1 + \omega^2 R^2 C_0^2} \frac{U_{\sim m}}{\dot{l}_m} e^{-j\varphi_1} : \end{aligned} \quad (8')$$

Եթե մտցնենք նաև լրացնության β անկյուն՝ պահանջնելով, որ տեսի ունենա $\tan \beta = \omega R C_0$, ապա կգրանցվի՝

$$\begin{aligned} \mathcal{R}(\omega) &= \frac{1}{j\omega} \left[k_0 - E_0^2 \frac{C_0}{1 + (\omega R C_0)^2} \right] + \frac{E_0^2 R C_0^2}{1 + (\omega R C_0)^2} - \frac{E_0 C_0 U_{\sim m}}{\omega \dot{l}_m} \frac{\sin(\varphi_1 + \beta)}{\sqrt{1 + (\omega R C_0)^2}} \\ &\quad + \frac{E_0 C_0 U_{\sim m}}{j\omega \dot{l}_m} \frac{\cos(\varphi_1 + \beta)}{\sqrt{1 + \omega R C_0)^2}} : \end{aligned} \quad (9)$$

Կարելի է նկատել, որ $\sin(\varphi_1 + \beta) = 1$ դեպքում ներմուծվում է առավելագույն բացասական դիմադրություն՝ ընձեռնելով լրդիանուր իմպենդանսի ակտիվ մասի նշանափոխության հնարավորություն: Տեսնում ենք նաև, որ ի սկզբանե առկա ակտիվ կորուստները կապված են շղթայի R դիմադրության հետ: Վերջինիս աճի հետ դրանք նվազում են, սակայն չեն կարող բնրվել զրոյի, քանի որ $R \rightarrow \infty$ սահմանում կմերժվի լիցքի ցանկացած տեղափոխություն:

Վերջապես R -ի և $\tau = RC_0 \gg 2\pi/\Omega$ ժամանակային հաստատունի պայմանում RC - շղթա ներմուծվող էլեկտրական իմպենդանսի մեջ բացասական ակտիվ բաղադրիչը ստացվում է առավելագույնը, եթե $U_c(t)$ -ի և $l'_t = v(t)$ -ի փուլերը նույնն են:



Նկ.4-ով տրված ա) և բ) կառուցումները փուլային առումով ապահովում են համապատասխանաբար էլեկտրական և մեխանիկական բացասական դիմադրությունների ներմուծումը՝ նրանց մաքսիմումի ստացումով: Վեկտորային դիագրամները տարբերվում են հատկապես կապված այն բանի հետ, որ անդրադարձվում է $U_{u,m}$ վեկտորը (առաջ կամ նույնականացնելով անդրադարձվում է $U_{u,m}$): Մեխանիկական տատանումների ամենաարդյունավետ ռեզենտացիային բնրող դեպքում $U_{u,m}$ -ի ազդանշանային ադրյուրվ պայմանավորվող հոսանքը պետք է հասցվի իր մաքսիմումին, եթե մոդուլացվող ունակությունը դառնում է նվազագույնը: Այդ պահին $l(t)$ -ն հասնում է իր մաքսիմումին: Այդպիս կարգավորված համակարգում $U_R(t)$ և $l_{~,m}(t)$ պարբերական ֆունկցիաները սինֆազ են:

Անդրադարձալով (9) իմպենդանսի մյուս (ռեակտիվ) բաղադրիչներին՝ նկատում ենք, որ կապի կոնդենսատորում դրսւորվող դեֆորմացիոն կոշտությունը կօղլիցքային պայմաններում կլինի ամենաքարձրը՝ հավասար k_0 -ին: Իրոք, $RC_0 \gg 2\pi/\Omega$ պայմանը կարող է բնրել մի ռեժիմի, եթե կոնդենսատորի տատանվող շրջադիրի լիցքը գործնականում չի հասցնում փոփոխվել: Ճիշտ հակառակ պարագայում, եթե տեղի ունի $RC_0 < 2\pi/\Omega$, կոշտությունը նվազում է՝ զիջելով առաջինին մոտավորապես $E_0 q_0/l_0$ - ի չափով: Այս գնահատումները, իհարկե, պայմանական են: Հաշվի չի առնված U_u ազդանշանի ազդեցությունը ևս: Պարզվում է, որ արված գնահատումները, այնուամենայնիվ, կմնան ուժի մեջ, եթե փուլային կապներում ճնշում է բնրված ռեզենտացիային առավելագույնս նպաստող ռեժիմը, այն է՝ $\varphi_1 + \beta = \pi/2$, $\sin(\varphi_1 + \beta) = 1$: Դա ապահովում է մեխանիկական իմպենդանսի ռեակտիվ բաղադրիչի անկախությունը $U_{u,m}$ -ից՝ $\cos(\varphi_1 + \beta) = 0$ պատճառով:

Գործնականում հավանական է դառնում, որ մեխանիկական կողմում, այնուամենայնիվ, կներմուծվի որոշ հավելյալ (դրական կամ բացասական) ռեակտիվություն՝ իր մոդուլով համեմատական ազդանշանային $U_{u,m}$ լայնության և կոնդենսատորի դաշտի միջին E_0 լարվածությանը: Նոյնպիսի համեմատականություն տեղի ունի նաև ներմուծվող ակտիվ բաղադրիչի մոդուլի համար, և կարևոր է դառնում պարզորշել $U_{u,m}$ -ին ներկայացվող շեմային պահանջը՝ ռեզենտացման ակնկալիքի և միաժամանակ (2')-ին բավարարելու իմաստով:

Պահանջներ, որ (9)-ում տեղի ունենա՝

$$\frac{E_0^2 R C_0^2}{1 + (\omega R C_0)^2} - \frac{E_0 C_0 U_{u,m}}{\omega l_{~,m}} \frac{1}{\sqrt{1 + (\omega R C_0)^2}} \leq 0,$$

իսկ $RC_0 \gg 2\pi/\Omega$ դեպքում պարզապես ունենանք $\frac{E_0}{\Omega^2 R} \left[E_0 - \frac{U_{u,m}}{l_{~,m}} \right] \leq 0$:

Այստեղից կստանանք՝

$$\frac{U_0}{l_0} - \frac{U_{u,m}}{l_{~,m}} \leq 0, \quad \frac{U_{u,m}}{U_0} \geq \frac{l_{~,m}}{l_0}, \quad U_{u,m} \geq E_0 l_{~,m}: \quad (10)$$

Եթե ունենք 10 Վ-ի կարգի U_0 և $l_0 \approx 1$ մմ, ապա կատանանք $E_0 \sim 10^4$ Վ/մ: Ենթադրենք՝ տառանումների լայնույթը $l_{\sim,m} \sim 1 \div 10$ մկմ է և, ուրեմն, ճնշումը հարաբերական փոփոխությունը կոնդենսատորում չի զերազանցում 1% -ը: Նման դեպքում ռեզենսիրացիայի սկզբնավորումը ապահովող մուտքային ազդանշանի լայնույթը է $U_{u,m} = 0,1$ Վ: Այսպիսի լարում կարելի է ապահովել տվիչի արձագանքի համապատասխան ուժնացումով, եթե նախօրոք վերադարձ կապ է հաստատված ունակային փոխակերպիչից դեպի մուտքային ազդանշանի աղբյուրը՝ միջնորդված ուժնացման և փուլի պտտման հանգույցներով: Դա ընդունված մոտեցում է և զործածվում է կայուն հաճախությունների ստացման աշխատանքներում:

Հաճախականությունների կայունացման խնդիրը և դրանում տատանողական մեխանիկական համակարգերի օգտագործումը շարունակական մշակման մեջ են տեղակայում [2] և գիտական լաբորատորիաներում [3,4]: Դա կապված է հատկապես այն բանի հետ, որ մեխանիկական տատանականերում սեփական հաճախականությունների կախվածությունը արտաքին պայմաններից սովորաբար թույլ է, քան էլեկտրականներում, իսկ դա շահեկան նախադրյալ է:

Գրականություն

1. Никифоров А.Н., Электромеханическая параметрическая система с переменной емкостью, Известия высших учебных заведений, Физика, N9, 1970, с. 64-67.
2. Джонсон Р.А., Механические фильтры в электронике, М., Мир, 1986, с.113.
3. Слабкий Л.И. Методы и приборы предельных измерений в экспериментальной физике. М., Наука, 1973, с.167.
4. Брагинский В.Б., Митрофанов В.П., Панов В.И., Системы с малой диссипацией. М., Наука, 1981, с.128.

Տեղականությունների հեղինակների մասին

Մելքոն Մինայան – ֆիզ.մաթ.գիտ.թեկնածու, ԱրՊՀ ընդհանուր և կիրառական ֆիզիկայի ամբիոնի ղողթնականությունների պահանջական հաճախականությունների կախվածությունը արտաքին պայմաններից սովորաբար թույլ է, քան էլեկտրականներում, իսկ դա շահեկան նախադրյալ է:

E-mail: mels40@mail.ru

Աննա Մինայան – ԱրՊՀ ընդհանուր և կիրառական ֆիզիկայի ամբիոնի աստվածաբանությունների պահանջական հաճախականությունների կախվածությունը արտաքին պայմաններից սովորաբար թույլ է, քան էլեկտրականներում, իսկ դա շահեկան նախադրյալ է:

E-mail: anshog@mail.ru

Արտակ Մկրտչյան – ԱրՊՀ ընդհանուր և կիրառական ֆիզիկայի ամբիոնի մագիստրանտ

E-mail: mkrtichyanartak@mail.ru

Հողվածը տպագրության է երաշխավորեն խմբագրական կողմանից անդամ, ֆ.մ.գ. դ. Ա.Գ.Ալեքսանյանը